

ORIGINAL ARTICLE

Synthesis and Immunogenicity Evaluation of Tetanus Toxoid Encapsulated Trimethyl Chitosan Nanoparticles

Majdeddin Ghalavand¹,
 Mojtaba Saadati²,
 Jafar Salimian³,
 Ebrahim Abbasi⁴,
 Ali Ahmadi⁵

¹ MSc in Cell and Molecular Biology, Virology Research Center, Baqiyatallah University of Medical Sciences, Tehran, Iran

² Professor, Biological Research Center, Faculty of Basic Sciences, Imam Hossein University, Tehran, Iran

³ Associate Professor, Chemical Injuries Research Center, Baqiyatallah University of Medical Sciences, Tehran, Iran

⁴ Assistant Professor, Department of Human Bacterial Vaccine, Razi Vaccine and Serum Research Institute, Karaj, Iran

⁵ Assistant Professor, Molecular Biology Research Center, Baqiyatallah University of Medical Sciences, Tehran, Iran

(Received July 4, 2016 ; Accepted December 18, 2016)

Abstract

Background and purpose: In recent years nanotechnology has a significant impact on various fields of human life, especially in pharmaceutical and medical needs. Some biopolymers such as chitosan which is also biocompatible are low cost and abundantly found, so, their application for vaccine production is cost benefit. Trimethyl chitosan is a deacetylated derivative of chitosan that could be used to increase the induction of immune response. In this study, trimethyl chitosan nanoparticles containing tetanus protein were used to stimulate the immune system.

Materials and methods: In this experimental study, synthesis of the tetanus toxoid loaded nanoparticles was done by ion gelation method. Physical features of the nanoparticles were investigated using scanning electron microscopy (SEM). The nanoparticles were then injected subcutaneously into mice. After the sampling process, the immune system stimulation was evaluated using indirect ELISA. Data was analyzed using one-way ANOVA and significance level of $P < 0.05$.

Results: The purity of protein was confirmed by SDS-PAGE and encapsulated proteins were loaded up to 80 percent. ELISA results showed that the immune system was stimulated significantly compared with Freund adjuvant, and antibody titer increased.

Conclusion: Tetanus toxoid loaded Trimethyl chitosan nanoparticles increase the stimulation of immune system and are more effective in comparison with Freund's adjuvant.

Keywords: nanoparticles, trimethyl chitosan, immunization, tetanus protein

J Mazandaran Univ Med Sci 2017; 26 (145): 54-62 (Persian).

سنتر و ارزیابی اینتی زایی نانوذرات تری متیل کایتوزان حاوی توکسونید کراز

مجدالدین قلاوند^۱

مجتبی سعادتی^۲

جعفر سلیمانیان^۳

ابراهیم عباسی^۴

علی احمدی^۵

چکیده

سابقه و هدف: نانو تکنولوژی، تاثیرات گسترده‌ای را در زمینه‌های مختلف زندگی بشر از جمله داروسازی و پزشکی در سال‌های اخیر گذاشته است. با توجه به فراوانی و ارزان بودن برخی از پلیمرهای زیستی از جمله کایتوزان که زیست سازگار نیز می‌باشد، استفاده از آن در صنعت ساخت واکسن مقرون به صرفه می‌باشد. تری متیل کایتوزان یکی از مشتقات استیل زدائی شده کایتوزان بوده که می‌توان از آن جهت افزایش القای پاسخ اینتی استفاده نمود. در این مطالعه از نانوذرات تری متیل کایتوزان حاوی پروتئین تنانوس جهت برانگیختن سیستم اینتی استفاده گردیده است.

مواد و روش‌ها: در این مطالعه تجربی، ساخت نانوذرات حاوی پروتئین تنانوس جهت توکسونید کراز با روش ژلاسیون یونی انجام شد. ویژگی‌های ظاهری نانوذرات با میکروسکوپ الکترونی و اتمی بررسی شد. سپس به صورت زیر جلدی به موش سوری تزریق شدند. پس از فرایند خونگیری، میزان تحریک سیستم اینتی با روش الایزای غیر مستقیم مورد بررسی قرار گرفت. نتایج آزمایش با آنالیز واریانس یک طرفه در سطح $p < 0.05$ تجزیه و تحلیل شدند.

یافته‌ها: خلوص پروتئین با SDS-PAGE مورد تایید قرار گرفت. پروتئین‌های توکسونید کراز با بارگذاری بالای ۸۰ درصد وارد نانوذرات شدند. نتایج الایزا نشان داد که سیستم اینتی به صورت معنی‌داری در مقایسه با ترکیب پروتئین با فروند تحریک شده و میزان تیتر آنتی بادی افزایش یافت.

استنتاج: نانوذرات‌های تری متیل کایتوزان حاوی پروتئین کراز، میزان تحریک سیستم اینتی را بالا برده و در مقایسه با ادجوانات فروند کارایی بیشتری دارند.

واژه‌های کلیدی: نانوذرات، تری متیل کایتوزان، اینتی زائی، پروتئین کراز

مقدمه

با توجه به گزارش سازمان بهداشت جهانی (WHO)، کراز عامل ایجاد ۲۰۰۰، ۱۳۰۰۰ مرگ و میر در سال ۲۰۰۲ بود که تقریباً ۸۵ درصد مبتلایان، نوزادان بودند(۲). این توکسین به صورت یک زنجیره ۱۵۰ کیلودالتونی بوده

بیماری کراز که توسط توکسین باکتری کلستریدیوم تاتانی ایجاد می‌شود، یک عفونت کشنده مشترک بین انسان و بیش تر پستانداران بوده و با گرفتگی‌های شدید عضلات ناشی از سیستم نوروولوژیک مشخص می‌شود(۱).

مؤلف مسئول: مجتبی سعادتی- تهران: دانشگاه جامع امام حسین(ع)، دانشکده علوم پایه، مرکز تحقیقات زیست شناسی

۱. کارشناس ارشد زیست شناسی سلولی و مولکولی، مرکز تحقیقات ویروس شناسی کاربردی، دانشگاه علوم پزشکی بقیه الله(عج)، تهران

۲. استاد، مرکز تحقیقات زیست شناسی، دانشکده و پژوهشکده علوم پایه، دانشگاه جامع امام حسین(ع)، تهران، ایران

۳. دانشیار، مرکز تحقیقات آسیب‌های شیمیایی، دانشگاه علوم پزشکی بقیه الله(عج)، تهران، ایران

۴. استادیار، بخش واکسن‌های باکتریال انسانی، موسسه واکسن و سرم سازی رازی، کرج، ایران

۵. استادیار، مرکز تحقیقات بیولوژی مولکولی، دانشگاه علوم پزشکی بقیه الله(عج)، تهران، ایران

۶. تاریخ دریافت: ۱۳۹۵/۴/۱۴ تاریخ ارجاع جهت اصلاحات: ۱۳۹۵/۴/۲۸ تاریخ تصویب: ۱۳۹۵/۹/۲۸

استیل گلوکز آمین می‌باشد که به وسیله‌ی یک پروسه داستیلاسیون از کیتین ایجاد می‌شود^(۱۰،۹). کایتوزان به دلیل خواصی هم‌چون زیست تخریب‌پذیری، زیست سازگاری، غیر آنتی‌ژنیک، سمیت پائین و خواص مخاط چسبی در تحقیقات مختلفی مورد استفاده قرار می‌گیرد^(۱۱-۱۳). هم‌چنین کایتوزان دارای خواص ضد باکتری، ضد قارچ، مهار تومور، آنتی اکسیدان و رهایش تحت کنترل دارو نیز می‌باشد^(۱۴). اما یک نقطه ضعف عمدۀ کایتوزان، حلالیت ضعیف آن در pH p فیزیولوژیک است، در حالی که تنها در محیط اسیدی در فرم پروتونه آن محلول وفعال است^(۱۵،۱۶). در مقابل N-تری متیل کایتوزان (TMC) یکی از مشتقات کایتوزان بوده که جهت بهبود خواص کایتوزان و برای غلبه بر موانع اصلی در استفاده از کایتوزان در برنامه‌های کاربردی دارویی بسیار مورد مطالعه قرار گرفته است. ماده TMC در گروه‌های آمینی چهارتایی خود دارای بار مثبت ثابت می‌باشد و به همین دلیل در طیف گسترده‌ای از pH حلالیت خوبی در آب نشان می‌دهد^(۱۷-۲۰).

هدف از این مطالعه استفاده از فناوری نانو جهت تهیه ستر نانوذرات تری متیل کایتوزان حاوی توکسوئید کراز و هم‌چنین ارزیابی ایندیکاتور آن در مقایسه با ادجوانات فرونند در موش آزمایشگاهی می‌باشد.

مواد و روش‌ها

غاظت سنگی با روش برادرفور

آنتی ژن مورد استفاده در این تحقیق، پروتئین توکسوئید کراز بود که از موسسه رازی تهیه گردیده و جهت انجام تست‌های مختلف ابتدا با روش پروتئین سنگی برادرفور، تعیین غاظت گردید.

الکتروفورز SDS-PAGE

در ادامه جهت بررسی خلوص پروتئین از الکتروفورز ۱۲ SDS-PAGE درصد با جریان ثابت ۲۵ میلی‌آمپر استفاده شد^(۲۱).

که از دو زیر واحد زنجیره سبک (50-kDa) و زنجیره سنگین (100-kDa) ساخته شده و با یک باند دی سولفیدی به هم متصل هستند. زیر واحد سبک، قسمت فعال توکسین است، اما وظیفه زیر واحد سنگین جهت وارد شدن به سلول می‌باشد^(۴،۳).

تنانوس توکسین از دو جز تشکیل شده است که هر دوی آن‌ها برای سمیت‌زنی ضروری هستند، اما در بیماری‌زنی عملکردهای متفاوتی دارند^(۴،۵). زمانی که توکسین وارد بدن شد و از طریق زیر واحد سنگین اتصال یافت، زیر واحد سبک که جز اصلی می‌باشد، از آزاد شدن نوروتوانسمیرهای مهاری جلوگیری می‌کند^(۸,۷).

توکسوئید کراز (شکل غیر فعال شده توکسین کراز با فرم البدیل) مصنونیت مناسبی در مقابل بیماری کراز که یک مشکل در کشورهای درحال توسعه است، ایجاد می‌کند. امروزه این توکسوئید به همراه ادجوانات آلوم به عنوان واکسن مورد استفاده قرار می‌گیرد. ادجوانات‌های نمک آلومینیوم به عنوان یک انبار جهت رهایش آهسته آنتی ژن و هم‌چنین به منظور افزایش میزان ایندیکاتور و واکسن‌ها مورد استفاده قرار می‌گیرند، هم‌چنین ادجوانات فرونند فقط در کارهای تحقیقاتی و روی حیوانات انجام می‌شود. همان طور که مشخص است، استفاده از ادجوانات‌ها در واکسن با تحریک بهتر اجزای سیستم ایندیکاتور به افزایش ایندیکاتور می‌شود، استفاده از ادجوانات‌ها در انسان به دلیل عوارض جانبی دارای محدودیت فراوانی است، به عنوان مثال ادجوانات فرونند که در تحقیقات آزمایشگاهی مورد استفاده قرار می‌گیرد، به دلیل ضررهای جانبی مجاز نمی‌باشد. از آنجایی که امروزه از نانوذرات برای استفاده در واکسن کاربرد دارد و با توجه به پاسخ ایندیکاتور مناسب، ایجاد حالت مخزنی و رهایش آهسته آن، از نانوذرات تری متیل کایتوزان که زیست سازگار بوده و برای سلول سمیت ندارد، به عنوان جایگزینی برای ادجوانات فرونند استفاده گردید. کایتوزان یک پلی ساکارید کاتیونیک خطی متشکل از زیر واحدهای بتا-دی گلوکز آمین و

پل تزریق به موش سپس به منظور بررسی میزان تحریک سیستم ایمنی علیه پروتئین مورد نظر، از موش‌های آزمایشگاهی سوری با وزن حدود ۲۰ گرم استفاده شد. گروه‌های آنتی‌ژنی مورد استفاده شامل ۴ گروه به صورت زیر بود: گروه اول آنتی‌ژن به همراه ادجوانت فرونده، گروه دوم نانوذرات تری‌متیل کایتوzan حاوی آنتی‌ژن، گروه‌های سوم و چهارم که شاهد بودند، در هر گروه تعداد ۵ موش سوری و به صورت تزریق زیر جلدی استفاده شد. روزها و فواصل زمانی تزریق و هم‌چنین میزان حجم تزریق پروتئین در موش‌های موجود در همه گروه‌های آزمایش یکسان بود (توضیحات در جدول شماره ۱ و شماره ۲ ارائه شده است) (۲۲).

روش الایزا جهت بررسی تیتر آنتی‌بادی ۲۰ روز پس از آخرین تزریق، خونگیری از سینوس چشم موش‌ها صورت گرفت. نمونه‌ها به مدت یک روز در یخچال (دما ۴ درجه سانتی‌گراد) نگهداری شده و پس از سانتریفیوژ (دور ۵۰۰۰ rpm، دمای ۴ درجه سانتی‌گراد و مدت ۳۰ دقیقه)، سرم آن‌ها جداسازی گردید. از روش الایزا غیرمستقیم برای تیتر کردن آنتی‌بادی استفاده شد. میزان آنتی‌ژن مورد استفاده در هر چاهک ۲ میکروگرم بود. هم‌چنین رقت‌های ۱:۱۰۰ تا ۱:۱۲۸۰۰ از سرم تهیه و به هر چاهک افزوده شد. کاثروگه (آنتی‌بادی ضد آنتی‌بادی موش کاثروگه) با پراکسیداز (ارقت ۱:۱۵۰۰۰ به همه چاهک‌ها اضافه شد. پس از توقف واکنش با اسید سولفوریک، پلیت‌ها با طول موج ۴۹۵ نانومتر در دستگاه الایزا ریدر شرکت بیوتک خوانده شدند (۲۲).

آنالیز آماری

در نهایت اطلاعات به دست آمده از تیتر آنتی‌بادی توسط نرم‌افزار (GraphPad InStat) و با آزمون آماری آنالیز واریانس یکطرفه (One-way Anova) و آزمون

سترنانوذرات کایتوzan و تعیین میزان کارائی پس از اطمینان از خلوص پروتئین، جهت ساخت نانوذرات از روش ژلاسیون یونی استفاده شد. بدین ترتیب که ابتدا محلول تری‌متیل کایتوzan (W/V ۱ درصد) با حل کردن پودر تری‌متیل کایتوzan (Sigma-USA) در بافر HEPES تهیه شده و میزان مورد نظر از آنتی‌ژن پروتئینی به آن اضافه گردید. سپس جهت ایجاد اتصالات عرضی و تشکیل نانوذرات از برههمکنش تری‌متیل کایتوzan با تری‌پلی فسفات (TPP) (Sigma-USA) استفاده شد که در ۳ مرحله متوالی به فواصل ۱۵ دقیقه، مقدار ۶۰ ماکرولیتر از محلول سدیم تری‌پلی فسفات (TPP) با غلظت ۱۰ میلی‌گرم بر میلی‌لیتر به صورت قطره قطره اضافه شد تا این که حالت شفاف محلول به سمت شیری شدن تغییر پیدا کرد و کدورتی یکنواخت در محلول ایجاد گردید. سپس به منظور کامل شدن واکنش‌های بین تری‌متیل کایتوzan، TPP و آنتی‌ژن اجازه داده شد تا محلول به مدت ۶۰ دقیقه در دور ۳۰۰ هم زده شود. در نهایت تمام محلول توسط سانتریفیوژ ۱۴۰۰ g دور به مدت ۲۰ تا ۴۰ دقیقه جداسازی شد و نانوذرات در کف جمع شده و محلول روئی دور ریخته شده و تعیین درصد انکپسولاسیون با فرمول زیر محاسبه شد.

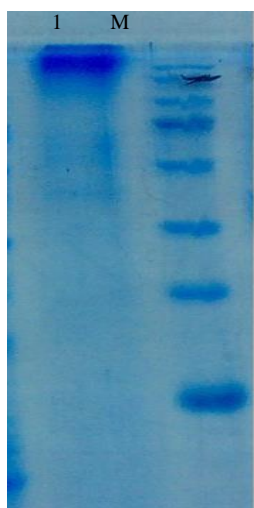
$$\text{EE\%} = \frac{\text{Total protein-Free protein}}{\text{Total protein}} \times 100$$

برای به دست آوردن نتیجه این فرمول: زمانی که سانتریفیوژ به اتمام رسید، محلول روئی را برداشته و با روش برادرفورد، پروتئین سنجی کرده و از کل پروتئین اولیه ریخته شده، کم می‌کنیم تا در نهایت مشخص شود که چند درصد از پروتئین‌ها وارد نانوذرات شده‌اند (۱۷).

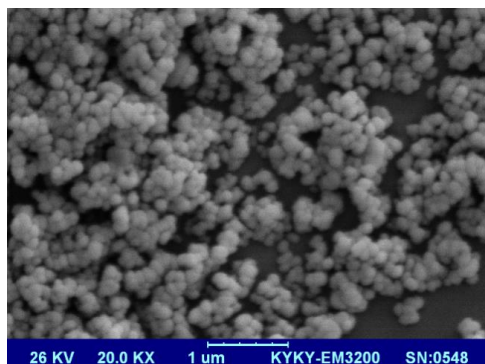
میکروسکوپ الکترونی SEM

میکروسکوپ الکترونی گذاره یا روبشی (Scanning electron microscope) بر اساس برههمکنش الکترون‌ها با ماده مورد نظر جهت بررسی خصوصیات مورفو‌لولژیک نانوذرات و اندازه آن‌ها مورد استفاده قرار گرفت.

نگردید و میانگین سایز نانوذرات بین ۹۰ تا ۱۲۰ نانومتر محاسبه گردید (تصویر شماره ۲).



تصویر شماره ۱: تصویر الگوی الکتروفورز ۱۲ SDS-PAGE درصد آنتی ژن پروتئینی مورد آزمایش؛ چاهک های M: نشانگر مولکولی پروتئین؛ چاهک ۱ نمونه پروتئین توکسوئید کراز



تصویر شماره ۲: نانوذرات تری متیل کایتوزان حاوی آنتی ژن پروتئینی؛ نانوذرات روی فویل آلومینیومی با لایه ثبیت شده و توسط میکروسکوپ الکترونی روبشی SEM تصویر برداری شد

تریتیات، بررسی ایندیکاتور آنتی ژن و تحلیل آماری پس از ساخت نانوذرات، میزان درصد کارائی نانوذرات تری متیل کایتوزان برای احتباس پروتئین تقریباً ۸۰ درصد بود. پس از انجام تزریقات و خونگیری از موش ها، میزان تحریک و فعلیت سیستم ایندیکاتور آنتی ژن با استفاده از روش الایزای غیرمستقیم در چند گروه آزمایش مشخص گردید

توکی بررسی گردید $p < 0.05$ به عنوان معنی دار بودن نتایج در نظر گرفته شد.

جدول شماره ۱: میزان تزریق آنتی ژن، بازه زمانی تزریق و روش تزریق در گروه اول

شماره تزریق	روز	مقدار Ag / موش	گروه اول	روش تزریق	ادجوانات	kDa
تزریق اول	۱	۲۰ µg	ذیر جلدی		کامل	۱۸۰
تزریق دوم	۱۴	۲۰ µg	ذیر جلدی		ناقص	۱۳۵
تزریق سوم	۳۶	۱۰ µg	ذیر جلدی		ناقص	۱۰۰
تزریق چهارم	۴۸	۸ µg	ذیر جلدی		ناقص	۷۵
						۶۳
						۴۸
						۳۵

جدول شماره ۲: میزان تزریق آنتی ژن، بازه زمانی تزریق و روش تزریق در گروه دوم + گروه های کنترل

شماره	روز	مقدار	گروه دوم	روش تزریق	شاهد	شاهد	روش
تزریق اول	۱	۲۰ µg	Np+TT	ذیر جلدی	HEPES+TT	HEPES+Np	Np+TT
تزریق دوم	۲۱	۲۰ µg	Np+TT	ذیر جلدی	HEPES+TT	HEPES+Np	HEPES+ Np
تزریق سوم	۳۶	۱۰ µg	Np+TT	ذیر جلدی	HEPES+ TT	HEPES+ Np	آنتی ژن خالی (همراه بافر)
تزریق چهارم	۴۸	۸ µg	Np+TT	ذیر جلدی	HEPES+ TT	HEPES+ Np	آنتی ژن خالی (همراه بافر)

Np+TT: نانوذرات حاوی آنتی ژن (توکسوئید تتابی)

HEPES+ Np: نانوذرات بدون آنتی ژن (همراه بافر)

آنتی ژن خالی (همراه بافر)

یافته ها

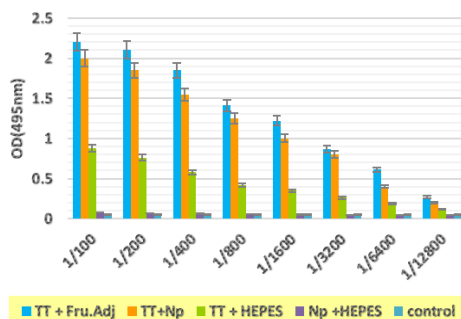
تل الکتروفورز SDS-PAGE

برای سنجش میزان خلوص پروتئین، پس از این که پروتئین سنجی با روش برادفورد کامل شد و غلظت نهائی پروتئین مشخص گردید، تل الکتروفورز SDS-PAGE ۱۲ درصد انجام شد که به دلیل مجتمع بودن تمام پروتئین به وسیله فرمالدهید، در همان بالای تل باقی ماندند و نتیجه تل نشان داد که پروتئین خالص بوده و هیچ باند دیگری مشاهده نگردید (تصویر شماره ۱).

میکروسکوپ الکترونی SEM

پس از انجام محاسبات عددی و فرمولاسیون ساخت نانوذرات، در مرحله بعد و قبل از تزریق به حیوانات، خصوصیات ساختاری آن بررسی شد. با تصاویری که از SEM به دست آمد، مشخص شد که شکل نانوذرات و توزیع آنها مناسب بوده و تجمع زیادی در آن مشاهده

با فواصل زمانی ۱۴ روز انجام شد و دو هفته بعد از بوستر سوم، میزان OD در طول موج ۴۹۰ نانومتر خوانش گردید؛ نمونه ها شامل نانوذرات تری میل کایتوzan حاوی آنتی ژن، آنتی ژن همراه بافر، نانوذرات عاری از آنتی ژن و گروه کنترل می باشد.

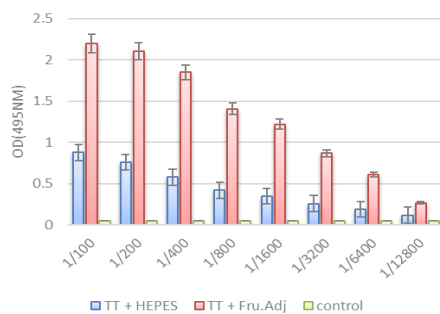


نمودار شماره ۳: مقایسه میانگین تیتراسیون آنتی بادی IgG و بررسی میزان تحریک سیستم ایمنی در تمامی گروه های آزمایش (جذب در طول موج ۴۹۰ نانومتر)؛ نمونه ها شامل آنتی ژن به همراه ادجوانات فروند (آبی)، نانوذرات تری میل کایتوzan حاوی آنتی ژن (نارنجی)، آنتی ژن همراه بافر (سبز) و گروه های کنترل می باشد. نتایج آزمون آماری نشانگر این است که بین گروه آبی و نارنجی تفاوت معناداری مشاهده نگردید ($p < 0.05$)؛ ولی با گروه سبز رنگ تفاوت معنی دار بود.

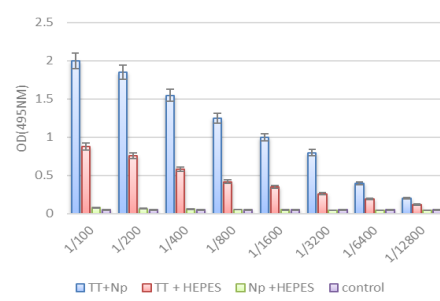
بحث

امروزه تحقیقات گستره ای به منظور بهبود روند واکسن کراز انجام می شود. با گسترش علم نانو جهت تحقق بهتر اهداف واکسیناسیون از جمله افزایش نفوذ، جلوگیری از تخریب انواع واکسن ها و داروها توسط آنزیم های هیدولایز کننده، افزایش ثبات و بهبود اختصاصیت نسبت به هدف نیاز به سیستم های دارورسانی نوین مرفع گردید (۲۳-۲۵). به منظور بررسی میزان بهبود واکسن کراز و با توجه به تحقیقاتی که در گذشته روی دیگر آنتی ژن ها انجام شده بود، در این تحقیق نیز ساخت نانوذرات تری میل کایتوzan برای بررسی افزایش میزان ایمنی زائی برای واکسن کراز مدنظر بود که با توجه به خاصیت قوی ادجوانات فروند در تحریک ایمنی زائی از آن به عنوان گروهی برای مقایسه میزان تحریک سیستم ایمنی و تولید آنتی بادی در گروه های موشی با روش تزریق زیرجلدی صورت گرفت.

(تعداد موش ها در هر گروه برابر ۵ عدد بود)؛ در گروه اول بالاترین تیتر آنتی بادی (آنتمی ژن به همراه ادجوانات فروند) برابر ۲/۲ بود که در مقایسه با گروه آنتی ژن بدون ادجوانات (کنترل) تفاوت معنی دار بود ($p < 0.05$) (نمودار شماره ۱). در گروه دوم، بالاترین تیتر آنتی بادی (نانوذرات حاوی آنتی ژن) برابر ۲ بود که باز هم در مقایسه با گروه آنتی ژن بدون ادجوانات (کنترل) تفاوت معنی دار بود ($p < 0.05$) (نمودار شماره ۲) و درنهایت از مقایسه تمامی گروه ها به همراه کنترل هایشان مشخص گردید که نتایج در هر دو گروه تست نسبت به گروه های کنترل، معنی دار بود؛ اما از مقایسه گروه دوم که نانوذرات را دریافت کرده بودند، در مقایسه با آن دسته از موش های گروه اول که آنتی ژن را همراه ادجوانات دریافت کرده بودند، تفاوت معنی داری مشاهده نگردید ($p < 0.05$) (نمودار شماره ۳).



نمودار شماره ۱: میانگین تیتراسیون آنتی بادی IgG بعد از ایمنی زایی با آنتی ژن بر پایه ادجوانات فروند (تری ریقات با فواصل زمانی ۱۴ روز انجام شد و دو هفته بعد از بوستر سوم، میزان OD در طول موج ۴۹۰ نانومتر خوانش گردید؛ نمونه ها شامل آنتی ژن به همراه ادجوانات فروند، آنتی ژن همراه بافر و گروه کنترل می باشد).



نمودار شماره ۲: میانگین تیتراسیون آنتی بادی IgG بعد از ایمنی زایی با آنتی ژن های قرار گرفته در نانوذرات تری میل کایتوzan (تری ریقات

حدوداً ۱۰۰ نانومتر بود که در مقایسه با تحقیقات موجود و به نسبت گروه ادجوانات فرونند ایمنی زائی مطلوبی داشت که می‌تواند جایگزین مناسبی برای فرونند باشد. از بین راههای ورود آنتی ژن، تزریق زیر جلدی میزان ایمنی زائی مناسبی به دلیل تحریک بهتر سلولهای سیستم ایمنی ایجاد می‌نماید. در تحقیقات دیگری که به صورت خوراکی و استنشاقی انجام شده بود، با توجه به این که از خرگوش استفاده شده بود و یا آنتی ژن‌های متفاوتی به کار رفته بود، مقایسه مناسبی صورت نگرفت.

در نهایت در این تحقیق، در گروهی که آنتی ژن‌ها درون نانوذرات قرار گرفته بودند، بین موش‌هایی که نانوذرات را دریافت کرده بودند به نسبت موش‌های کنترل، تفاوت میزان IgG معنی‌دار بود؛ ولی از مقایسه گروهی که نانوذرات را دریافت کرده بودند در مقایسه با آن دسته از موش‌هایی که آنتی ژن را همراه ادجوانات دریافت کرده بودند، تفاوت معناداری مشاهده نگردید ($p < 0.05$). با توجه نتایج به دست آمده از این تحقیق مشخص شد که تزریق آنتی ژن به تنها یکی توپانایی تحریک سیستم ایمنی و القای پاسخ آنتی‌بادی را ندارد. این در حالیست که با تزریق پرتوئین به صورت نانوذرات، میزان تحریک سیستم ایمنی به طور قابل توجهی افزایش می‌یابد. هم‌چنین زمانی که آنتی ژن همراه ادجوانات فرونند تزریق شد، میزان تیتر آنتی‌بادی افزایش چشمگیری داشت؛ با آنالیز آماری بین گروههای آزمایش با توجه به این که اختلاف معنی‌داری بین ادجوانات فرونند و نانوذرات مشاهده نگردید، نانوذرات تری متیل کایتوزان با توجه به خواص زیست سازگاری و زیست تخریب‌پذیری و هم‌چنین ارزان بودن می‌توانند جایگزین مناسب تری برای ادجوانات فرونند جهت تحریک سیستم ایمنی و پاسخ‌های ایمونولوژیک باشند.

References

1. Steven GF. Wassilak, Kretsinger K. Tetanus, in Bacterial Infections of Humans. Springer; 2009. p. 813-832.
2. WHO Bull. Weekly Epidemiological Record (WER). 2006; 81: 453-464.
3. Calvo AC, Oliván S, Manzano R, Zaragoza

به منظور بررسی میزان خلوص پرتوئین و عدم آلودگی در آن از روش الکتروفورز SDS-PAGE استفاده شد، در تحقیقاتی که توسط تقدیمی و همکاران در سال ۲۰۰۶ (۲۶) و همچنین Harde و همکاران در سال ۲۰۱۵ (۲۷) صورت گرفته بود، باندها در بالای ژل جدا کننده قرار گرفتند که به دلیل وزن مولکولی توکسین حاوی فرمالدئید بوده و در این تحقیق نیز این گونه بود. عارف پور و همکاران، پروتئین نوترکیب زنجیره سنگین توکسین را بیان و تخلیص نمودند (۲۸) و در ادامه این کار، نظریان و همکاران (سال ۱۳۹۳) به بررسی ایمنی زائی زیر واحد سنگین تنانو توکسین پرداختند که میزان ایمنی زائی تحقیق حاضر در مقایسه با ادجوانات فرونند و نانوذرات یک واحد بیشتر بود (میزان تولید آنتی‌بادی زیر واحد سنگین = ۳ میلی گرم بر میلی لیتر) (۲۹). همان‌طوری که در بسیاری از مقالات تحقیقی تقدیمی و همکاران (۳۰)، و Garinot و همکاران (۳۱) عنوان شده، یکی از انواع روش‌های ساخت نانوذرات، روش ژلاسیون یونی انتخاب بوده که در این مطالعه نیز استفاده گردید؛ چون هم مقررین به صرفه بوده و هم نانوذراتی با اندازه‌ای کوچک‌تر و مناسب‌تر را تولید می‌کند. در مقاله‌ای که توسط باقری‌پور و همکاران (سال ۹۴) انجام شد، زیر واحد نوترکیب توکسین بوتولینوم را در نانوذرات کایتوزان به صورت نانوذره ستر کردند که اندازه نانوذرات که توسط این روش تهیه شده بودند، برابر ۳۰۰ نانومتر بوده و میزان آنتی‌بادی تولید شده با ادجوانات فرونند برابر ۳ میلی گرم بر میلی لیتر بود (۳۲). در تحقیق دیگری که توسط تقدیمی و همکاران انجام شده بود (۳۰)، توکسین کزار را در لیپوزوم‌هایی انکپسوله نموده بودند که سایز این ذرات در حدود ۱۰۰ نانومتر بود؛ در تحقیقی که ما انجام دادیم، اندازه نانوذرات

- P, Aguilera J, Osta R . Fragment C of tetanus toxin: new insights into its neuronal signaling pathway. *Int J Mol Sci* 2012; 13(6): 6883-6901.
4. Binz T, Rummel A. Cell entry strategy of clostridial neurotoxins. *J Neurochem* 2009; 109(6): 1584-1595.
 5. Farrar JJ, Yen LM, Cook T, Fairweather N, Binh N, Parry J, et al. Tetanus. *J Neurol Neurosurg Psychiatry* 2000; 69(3): 292-301.
 6. Morihiro Matsuda, Tetanus Toxin Functional Fragment Antigen and Tatanus Vaccine, The research foundation if microbial disease of Osaka University. Osaka (JP), Patent No: US6372225 B1, Apr. 16, 2002.
 7. Calvo AC, Oliván S, Manzano R, Zaragoza P, Aguilera J, Osta R. Fragment C of tetanus toxin: new insights into its neuronal signaling pathway. *Int J Mol Sci* 2012; 13(6): 6883-6901.
 8. Salinas S, Schiavo G, Kremer EJ. A hitchhiker's guide to the nervous system: the complex journey of viruses and toxins. *Nat Rev Microbiol* 2010; 8(9): 645-655.
 9. Agnihotri SA, Mallikarjuna NN, Aminabhavi TM. Recent advances on chitosan-based micro-and nanoparticles in drug delivery. *J Control Release* 2004; 100(1): 5-28.
 10. Kumar MN, Muzzarelli RA, Muzzarelli C, Sashiwa H, Domb AJ. Chitosan chemistry and pharmaceutical perspectives. *Chem Rev* 2004; 104(12): 6017-6084.
 11. Malafaya PB, Silva GA, Reis RL. Natural-origin polymers as carriers and scaffolds for biomolecules and cell delivery in tissue engineering applications. *Adv Drug Deliv Rev* 2007; 59(4-5): 207-233.
 12. Tafaghodi M, Kersten G, Jiskoot W. Nano-adjuvanted polio vaccine: Preparation and characterization of chitosan and trimethyl chitosan (TMC) nanoparticles loaded with inactivated polio virus and coated with sodium alginate. *Nanomed J* 2014; 1(4): 220-228.
 13. van der Lubben IM, Kersten G, Fretz MM, Beuvery C, Verhoef JC, Junginger HE. Chitosan microparticles for mucosal vaccination against diphtheria: oral and nasal efficacy studies in mice. *Vaccine* 2003; 21(13-14): 1400-1408.
 14. Casettari L, Villasaliu D, Lam JK, Soliman M, Illum L. Biomedical applications of amino acid-modified chitosans: A review. *Biomaterials* 2012; 33(30): 7565-7583.
 15. Garcia-Fuentes M, Alonso MJ. Chitosan-based drug nanocarriers: Where do we stand? *J Control Release* 2012; 161(2): 496-504.
 16. Podrepšek GH, Knez Ž, Leitgeb M. Different preparation methods and characterization of magnetic maghemite coated with chitosan. *Journal of Nanoparticle Research* 2013; 15(6): 1-12.
 17. Tafaghodi M, Saluja V, Kersten GF, Kraan H, Slüter B, Amorij JP, et al. Hepatitis B surface antigen nanoparticles coated with chitosan and trimethyl chitosan: Impact of formulation on physicochemical and immunological characteristics. *Vaccine* 2012; 30(36): 5341-5348.
 18. Moghassemi S, Parnian E, Hakamivala A, Darzianazizi M, Vardanjani MM, Kashanian S, et al. Uptake and transport of insulin across intestinal membrane model using trimethyl chitosan coated insulin niosomes. *Mater Sci Eng C Mater Biol Appl* 2015; 46(1): 333-340.
 19. Atyabi F, Majzoob S, Iman M, Salehi M, Dorkoosh F. In vitro evaluation and modification of pectinate gel beads containing trimethyl chitosan, as a multi-particulate system for delivery of water-soluble macromolecules to colon. *Carbohydrate Polymers* 2005; 61(1): 39-51.

20. Hamman J, Stander M, Kotze AF. Effect of the degree of quaternisation of N-trimethyl chitosan chloride on absorption enhancement: in vivo evaluation in rat nasal epithelia. *Int J Pharm* 2002; 232(1-2): 235-242.
21. Edelstein S, Bollag MD. Protein methods. New York: Wiley-Liss; 1991.
22. Little SF, Webster WM, Norris SL, Andrews GP. Evaluation of an anti-rPA IgG ELISA for measuring the antibody response in mice. *Biologicals* 2004; 32(2): 62-69.
23. Wang JJ, Zeng ZW, Xiao RZ, Xie T, Zhou GL, Zhan XR, et al. Recent advances of chitosan nanoparticles as drug carriers. *Int J Nanomedicine* 2011; 6: 765-774.
24. Jia F, Liu X, Li L, Mallapragada S, Narasimhan B, Wang Q. Multifunctional nanoparticles for targeted delivery of immune activating and cancer therapeutic agents. *J Control Release* 2013; 172(3): 1020-1034.
25. Chaudhury A, Das S. Recent advancement of chitosan-based nanoparticles for oral controlled delivery of insulin and other therapeutic agents. *AAPS Pharm Sci Tech* 2011; 12(1): 10-20.
26. Harde H, Agrawal AK, Jain S. Tetanus toxoids loaded glucomannosylated chitosan based nanohoming vaccine adjuvant with improved oral stability and immunostimulatory response. *Pharm Res* 2015; 32(1): 122-134.
27. Arefpour MA, Nazarian SH, Olad GR, Rezaie E, Salimian J. Expression and purification of recombinant heavy chain (Hc) of Tetanus toxin in prokaryotic expression system. *J Shahrekord Univ Med Sci* 2014; 16(1): 106-113.
28. Nazarian SH, Olad GH, Arefpour MA, Salimian J, Bagheripour MJ, Minaie ME, et al. Polyclonal antibody production and purification against tet-anospasmin. *Journal of Police Medicine*. Summer 2014; 3(2): 101-106 (Persian).
29. Tafaghodi M, Sajadi Tabassi SA, Jaafari MR. Induction of systemic and mucosal immune responses by intranasal administration of alginate microspheres encapsulated with tetanus toxoid and CpG-ODN. *Int J Pharm* 2006; 319(1-2): 37-43.
30. Tafaghodi M, Jaafari MR, Tabassi SA. Nasal immunization studies by cationic, fusogenic and cationic-fusogenic liposomes encapsulated with tetanus toxoid. *Curr Drug Deliv* 2008; 5(2): 108-113.
31. Garinot M, Fiévez V, Pourcelle V, Stoffelbach F, des Rieux A, Plapied L, et al. PEGylated PLGA-based nanoparticles targeting M cells for oral vaccination. *J Control Release* 2007; 120(3): 195-204.
32. Bagheripour MJ, Ebrahimi F, Hajizadeh A, Nazarian S. Immunogenicity Effect of Chitosan Nanoparticles Containing Botulinum Neurotoxin E binding Domain Recombinant Protein in Mice. *Mazandaran Univ Med Sci* 2015; 25(124): 37-47 (Persian).